



БИООРГАНИЧЕСКАЯ ХИМИЯ

том 16 * №12* 1990

УДК 577.217.337.2

© 1990 г.

*З. М. Петрушенко, М. А. Тукало, О. И. Гудзера,
О. Т. Рожко, Г. Х. Мацунка*

ОПРЕДЕЛЕНИЕ УЧАСТКОВ ВЗАИМОДЕЙСТВИЯ тРНК^{Leu} ИЗ МОЛОЧНОЙ ЖЕЛЕЗЫ КОРОВ С ГОМОЛОГИЧНОЙ АМИНОАЦИЛ-тРНК-СИНТЕТАЗОЙ МЕТОДОМ ХИМИЧЕСКОЙ МОДИФИКАЦИИ

Институт молекулярной биологии и генетики АН УССР, Киев

Определены участки контакта тРНК^{Leu}_{TAG}, имеющей длинную вариабельную ветвь, с гомологичной аминоацил-тРНК-сингтетазой. Показано, что сингтетаза защищает от алкилирования нитрозоэтилмочевиной 3'-фосфаты нуклеотидов 12—13 D-петли, 23—24 D-стебля, 37—43 антикодоновой ветви тРНК. Вариабельная ветвь и антикодон тРНК^{Leu}_{TAG} в зону контакта с Leu-тРНК-сингтетазой не входят. Все участки взаимодействия с гомологичной Leu-тРНК-сингтетазой имеют тенденцию к локализации со стороны D-стебля L-формы молекулы тРНК^{Leu}.

Транспортные РНК, участвуя в процессе белкового синтеза, взаимодействуют со многими биологическими макромолекулами. Наибольший интерес вызывает вопрос о молекулярных механизмах специфического взаимодействия тРНК с гомологичной аминоацил-тРНК-сингтетазой. Один из основных выводов, к которому пришли многие исследователи этой проблемы, состоит в том, что закономерности, выявленные на одной паре тРНК — аминоацил-тРНК-сингтетаза, нельзя механически переносить на другую [1]. Особый интерес представляют данные, касающиеся тРНК с длинной вариабельной ветвью, так как до последнего времени исследованы в основном комплексы аминоацил-тРНК-сингтетаз с тРНК, имеющими короткую вариабельную ветвь, т. е. с тРНК первого класса.

В настоящей работе приведены результаты изучения участков контакта тРНК^{Leu}_{TAG} молочной железы коровы, одной из тРНК второго класса, с гомологичной аминоацил-тРНК-сингтетазой, полученные с помощью модификации комплекса нитрозоэтилмочевиной.

Ранее Власовым было показано, что доступность фосфатных групп тРНК в зоне контакта с ферментом для алкилирования нитрозоэтилмочевиной затруднена [2, 3]. Стратегия алкилирования тРНК в присутствии аминоацил-тРНК-сингтетазы была аналогична таковой для свободной тРНК и подразумевала обработку реагентом в условиях стабилизации пространственной структуры молекулы [2, 3], но преследовала также цель обеспечения наибольшего благоприятствования специфическому комплексообразованию: трис-HCl (рН 8,0), содержащий MgCl₂, дитиотреит, β-меркаптоэтанол при соотношении белок — тРНК 7,5 : 1 для 1 мкМ тРНК. Продукты расщепления нуклеиновой кислоты анализировали методом быстрого гель-секвенирования в поликариламидном геле (рис. 1). Относительные реакционные способности остатков фосфорной кислоты тРНК^{Leu}, находящейся в комплексе с белком, рассчитывали из денситограмм соответствующих электрофоретических треков. Из рис. 2, 3 видно, что Leu-тРНК-сингтетаза защищает от алкилирования нитрозоэтилмочевиной ряд межнуклеотидных фосфатов тРНК^{Leu}_{TAG}, сгруппированных в трех зонах: 3'-фосфаты нуклеотидов 12, 13 D-петли, 23—24 D-стебля, 37—43 антикодоновой ветви. Положение этих фосфатов в структуре тРНК показано на рис. 4. Остатки фосфорной кислоты антикодона и вариабельной ветви от

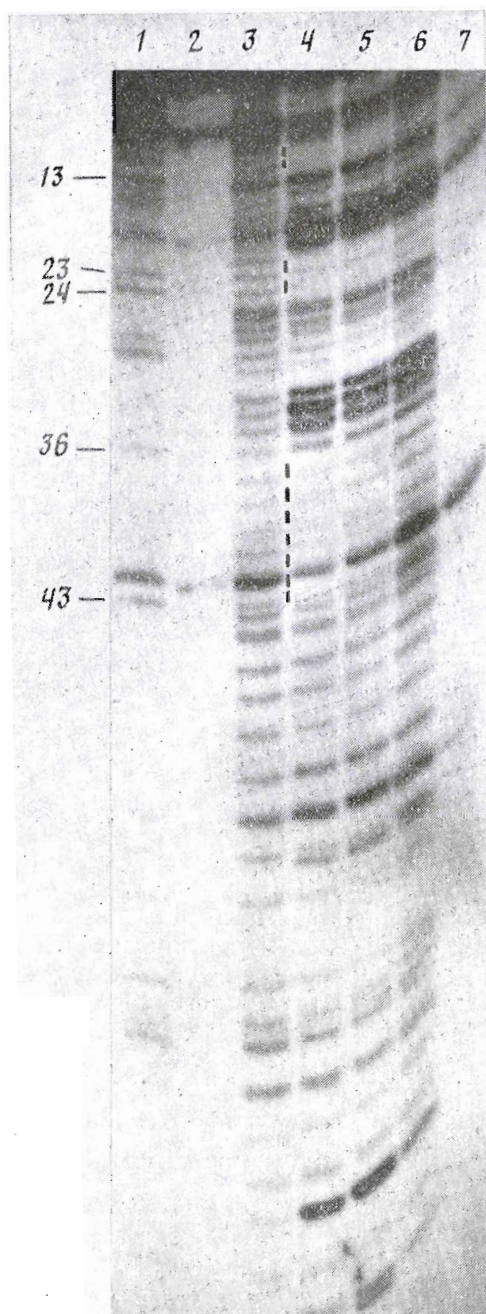


Рис. 1. Радиоавтограф полиакриламидного геля после разделения фрагментов, полученных в результате расщепления $3'\text{-}{}^{32}\text{P}$ -меченоей $\text{tRNA}^{\text{Leu}}_{\text{TAG}}$, алкилированной нитрозоэтилмочевиной в стабилизирующих условиях (3), в присутствии гомологичной Leu-tRNA -синтетазы (4, 5) или бычьего сывороточного альбумина (6). 2, 7 — tRNA , выдержанная соответственно в условиях треков 3, 4, но без реагента. 1 — tRNA , частично гидролизованная рибонуклесазой T_1 . Штриховой линией отмечены полосы в треке 4, отличающиеся по интенсивности от соответствующих полос трека 3. Цифры слева — номера $3'$ -фосфатов соответствующих нуклеотидов

модификации не защищаются. Метод химической модификации комплекса нитрозоэтилмочевиной не позволяет получить информацию об участии в контакте с аминоацил- tRNA -синтетазой фосфатов акцепторного стебля tRNA , так как в ходе эксперимента не удается достичь количественного осаждения коротких олигонуклеотидов.

В качестве контроля специфичности комплексообразования мы проводили реакцию алкилирования tRNA^{Leu} молочной железы коровы в присутствии Ser-tRNA -синтетазы из печени быка, бычьего сывороточного альбумина и Leu-tRNA -синтетазы из дрожжей (рис. 1, 3). Было обнаружено, что первые два белка не защищают остатки фосфорной кислоты tRNA^{Leu} от модификации. Дрожжевая лейцил- tRNA -синтетаза взаимодействует с теми же участками tRNA^{Leu} молочной железы коровы, что и гомологичная аминоацил- tRNA -синтетаза (рис. 3).

Таким образом, в tRNA^{Leu} , как и в других исследованных tRNA [2—6],

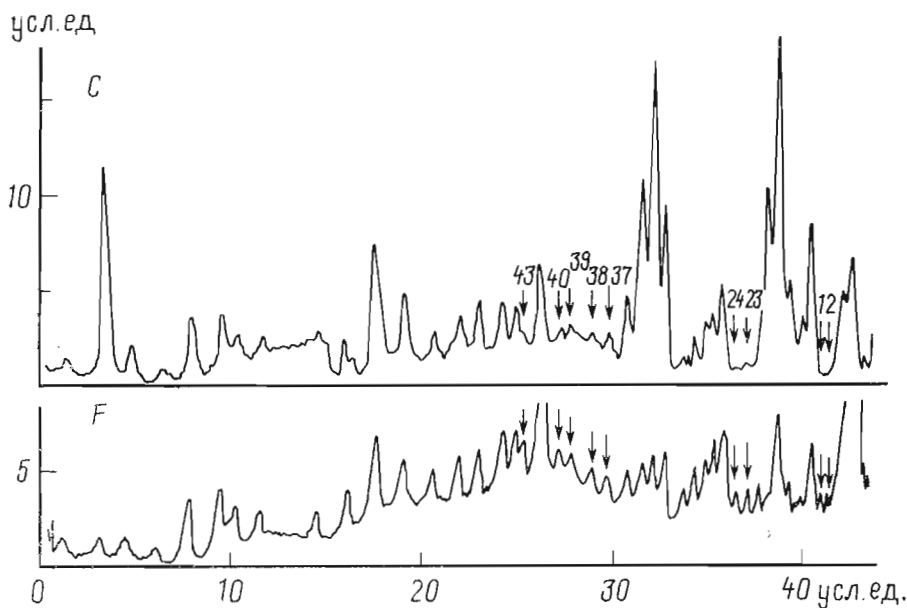


Рис. 2. Денситограмма радиоавтографа, показанного на рис. 1. С — дорожка 4, F — дорожка 3. Стрелками отмечены остатки фосфорной кислоты $tRNA_{\text{Leu}}^{\text{LIG}}$, имеющие пониженный уровень модификации в присутствии гомологичной аминоацил- $tRNA$ -синтетазы

в контакте с гомологичной аминоацил- $tRNA$ -синтетазой находится не один участок, а несколько удаленных друг от друга в первичной структуре. На рис. 5 остатки фосфорной кислоты $tRNA_{\text{Leu}}^{\text{LIG}}$, защищаемые от модификации Leu - $tRNA$ -синтетазой, изображены на обобщенной Сундаралингамом модели пространственной структуры $tRNA$ второго класса [7]. Исходя из расположения этих фосфатов, можно сделать вывод, что $tRNA_{\text{Leu}}^{\text{LIG}}$ молочной железы коров взаимодействует с гомологичной аминоацил- $tRNA$ -синтетазой одной стороной, противоположной той, из которой выходит вариабельная ветвь.

Результаты настоящей работы хорошо соответствуют данным, полученным нами при изучении защиты $tRNA^{\text{Leu}}$ Leu - $tRNA$ -синтетазой из молочной железы коров от гидролиза экзонуклеазой яда кобры. Так, в работе [8] наблюдали защиту 3'-стороны антикодонового стебля; было также показано, что Leu - $tRNA$ -синтетаза не защищает антикодон $tRNA^{\text{Leu}}$ от гидролиза различными нуклеазами.

Интересно сравнить результаты, полученные нами при изучении взаимодействия $tRNA^{\text{Leu}}$ с гомологичной синтетазой, с данными других авторов. Опубликованные работы такого рода касаются $tRNA$, имеющих короткую вариабельную петлю. С помощью метода защиты фосфатов $tRNA$ аминоацил- $tRNA$ -синтетазой от алкилирования нитрозоэтилмочевиной были изучены несколько гомологичных пар: фенилаланиновая, валиновая [2, 3], аспарагиновая [5] из дрожжей, триптофановая из печени быка [6] и треониновая из *E. coli* [4]. В $tRNA^{\text{Phe}}$ дрожжей Phe - $tRNA$ -синтетаза защищает от алкилирования ряд фосфатов по всей структуре молекулы. Причем эти фосфаты расположены как на внутренней, так и на внешней стороне L-формы $tRNA$. В валиновой паре в зону контакта с аминоацил- $tRNA$ -синтетазой входят протяженные участки 3'-стороны антикодоновой ветви, вариабельной петли и ряд фосфатов D-ветви; фермент как бы охватывает молекулу $tRNA$ с двух сторон. В $tRNA^{\text{Trp}}$ с гомологичной аминоацил- $tRNA$ -синтетазой взаимодействует 5'-сторона антикодонового стебля и 3'-сторона акцепторного стебля. В аспарагиновой паре в зону контакта с синтетазой входят довольно протяженные участки $tRNA$: 5'-сторона антикодонового, D- и TΨC-стеблей, а также вариабельная петля. В целом все участки взаимодействия расположены с одной стороны тела

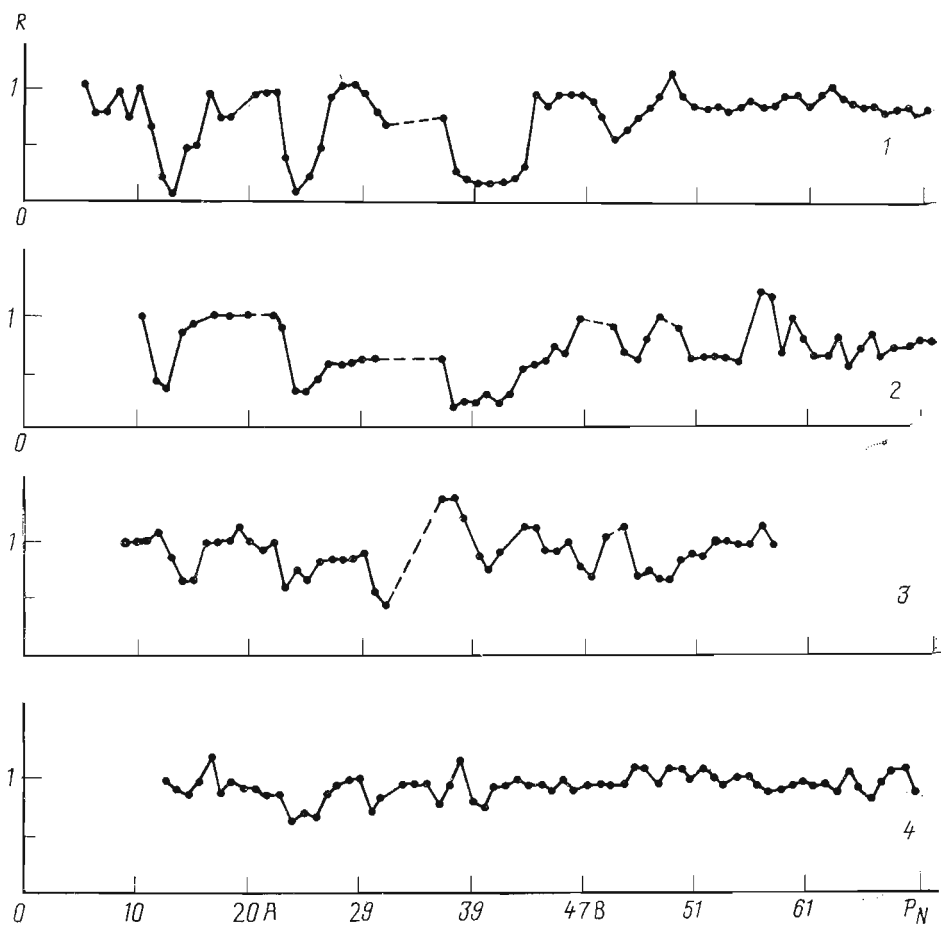


Рис. 3. Отношение реакционной способности остатков фосфорной кислоты (R) в tRNA^{Leu} при ее алкилировании нитрозоэтилмочевиной в присутствии гомологичной Leu-tRNA -синтетазы (1), дрожжевой Leu-tRNA -синтетазы (2), бычьего сывороточного альбумина (3) и Ser-tRNA -синтетазы из печени быка (4) к реакционной способности соответствующих фосфатов в свободной tRNA . P_N — номера фосфатов

tRNA^{Asp} (на которой расположена вариабельная петля). В треониновой tRNA гомологичная аминоацил- tRNA -синтетаза защищает от модификации фосфаты 3'-стороны акцепторного и D-стеблей, 5'-стороны вариабельной петли, антикодонового и TΨC-стеблей.

Недавно были получены сведения об участках контакта с гомологичной аминоацил- tRNA -синтетазой еще одного представителя tRNA второго класса — лейциновой tRNA фасоли (Р. Жье же, персональное сообщение). Обнаруживается хорошее совпадение участков контакта с Leu-tRNA -синтетазой этой tRNA и tRNA^{Leu} молочной железы коров. Фермент из фасоли защищает от алкилирования нитрозоэтилмочевиной 3'-fosфаты нуклеотидов 10—12, 22—25, 38—44.

Полученные нами результаты вместе с данными других авторов показывают, что каждая из исследованных tRNA взаимодействует с гомологичной аминоацил- tRNA -синтетазой по-разному. По-видимому, модель, предложенная Ричем и Шиммелем [9], которая предполагает, что tRNA взаимодействует с аминоацил- tRNA -синтетазой внутренней стороной L-формы молекулы, является частным случаем топографии tRNA -ферментного комплекса.

Экспериментальная часть

В работе использовали $[\alpha-^{32}\text{P}]ATP$ и $[\gamma-^{32}\text{P}]ATP$ с уд. акт. 2000—3000 КИ/ммоль (Amersham, Англия), T_1 - tRNA казу (КФ 3.1.27.3; Sankyo, Япония). Нитрозоэтилмочевина синтезирована А. Г. Терентьевым (ИМБиЛ АН УССР).

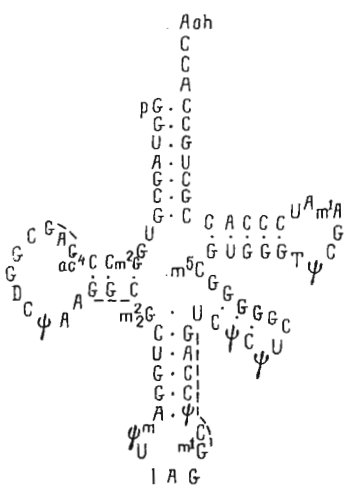


Рис. 4

Рис. 4. Структура тРНК^{Leu} в виде клеверного листа. Штриховой линией отмечены участки тРНК, защищаемые лейцил-тРНК-сингтетазой от алкилирования нитрозоэтилмочевиной



Рис. 5

Рис. 5. Модель пространственной структуры тРНК второго класса, предложенная Сундаралингамом [7]. Треугольниками показаны фосфаты тРНК^{Leu} молочной железы коров, защищаемые лейцил-тРНК-сингтетазой от алкилирования нитроэтилмочевиной

Препарат индивидуальной тРНК^{Leu} выделяли из суммарной тРНК лактирующей молочной железы коров методами, описанными нами ранее [10].

Leu-тРНК-сингтетаза молочной железы коров 75%-ной чистоты была получена в результате следующих стадий очистки: 1) хроматография клеточного экстракта на колонке с DEAE-целлюлозой в трис-HCl-буфере, pH 7,8; 2) дробное высаливание белков сульфатом аммония; 3) хроматография сульфат-аммонийного осадка, содержащего лейцилакцепторную активность, на колонке с DEAE-целлюлозой в калий-фосфатном буфере, pH 7,2; 4) гель-фильтрация на ультрагеле ACA-34; 5) хроматография на гидроксиапатите; 6) хроматография на колонке с гидрофобным наполнителем — диаминооктил-сепарозой.

Leu-тРНК-сингтетазу дрожжей выделяли согласно работе [11].

тРНК^{Leu}, ³²P-меченую по 3'- и 5'-концу, получали как описано в работах [12] и [13] соответственно, используя щелочную фосфатазу из *E. coli* (КФ 3.1.3.1; Worthington, США), полинуклеотидкиназу (КФ 2.7.1.78), выделенную из клеток *E. coli*, инфицированных фагом T4 (Boehringer, ФРГ), и тРНК-нуклеотидилтрансферазу (КФ 2.7.2.1), любезно предоставленную Р. Жье же (Институт молекулярной и клеточной биологии, Страсбург).

Алкилирование меченой тРНК нитроэтилмочевиной в условиях, стабилизирующих пространственную структуру молекулы, проводили как описано нами в работе [14].

Алкилирование меченой тРНК (1 мкМ) в присутствии фермента или бычьего сывороточного альбумина (по 7,5 мкМ) проводили в 25 мл 50 mM трис-HCl (pH 8,0), содержащего 5 mM MgCl₂, 5 mM меркартоэтанол, 0,2 mM дигиотрейт, 0,1 mM EDTA, добавляя 2,5 мкл насыщенного раствора нитроэтилмочевины и выдерживая 2 ч при 23° С. Контрольный эксперимент проводили, добавляя эквивалентный объем чистого этанола. Для остановки алкилирования и осаждения тРНК в реакционную смесь добавляли 6 мкл 1,5 M ацетата натрия, 10 мг суммарной тРНК и 100 мкл дважды перегнанного этанола.

Расщепление полинуклеотидной цепи по модифицированным фосфатам проводили 5 мин в трис-HCl-буфере (pH 9,0) при 55° С. Фрагменты тРНК

осаждали подкислением раствора ацетатом натрия и добавлением этанола. Полученные образцы расщепленной тРНК анализировали гель-электрофорезом в 12,5% полиакриламидном геле в 0,05 М трис-боратном буфере, pH 8,3, содержащем 1 мМ EDTA и 8 М мочевину. Отнесение электрофоретических полос проводили сравнением их подвижности с подвижностью фрагментов тРНК, полученных путем частичного гидролиза ее рибонуклеазой Т₁. Радиоавтографы гелей сканировали на микроденситометре Joyce, Loeb (Англия).

СПИСОК ЛИТЕРАТУРЫ

1. Киселев Л. Л., Фасорова О. О., Ларик О. И. Биосинтез белков от аминокислот до аминоацил-тРНК. М.: Наука, 1984. 408 с.
2. Vlassov V. V., Giegé R., Kern D., Romby P., Ebel J. P. // Eur. J. Biochem. 1983. V. 132. № 3. P. 537—544.
3. Vlassov V. V., Kern D., Giegé R., Ebel J. P. // FEBS Lett. 1981. V. 123. № 2. P. 277—281.
4. Theobald A., Springer M., Grunberg-Manago M., Ebel J. P., Giegé R. // Eur. J. Biochem. 1988. V. 175. № 3. P. 511—524.
5. Romby P., Moras D., Bergdoll M., Dumas P., Vlassov V. V., Westhof E., Ebel J. P., Giege R. // J. Mol. Biol. 1985. V. 184. № 3. P. 455—474.
6. Garret M., Labouesse B., Litvak S., Romby P., Ebel J. P., Giegé R. // Eur. J. Biochem. 1984. V. 138. № 1. P. 67—75.
7. Brennan T., Sundaralingam M. // Nucl. Acids Res. 1976. V. 3. № 11. P. 3235—3251.
8. Matsuka G. Kh., Tukalo M. A., Petrushenko Z. M., Kriklyivity I. A., Rozchko O. T., Kalachnyuk L. G. // 14 the Int. Congr. of Biochemistry: Abstracts. Prague, 1988. V. 5. FR: 454. P. 157.
9. Rich F., Schimmel P. R. // Nucl. Acids Res. 1977. V. 4. № 15. P. 1649—1665.
10. Тукало М. А., Васильева И. Г., Туркоеская Г. В., Ельская А. В. // Биохимия. 1983. Т. 48. № 12. С. 1984—1987.
11. Kern D., Giegé R., Ebel J. P. // Biochim. et biophys. acta. 1969. V. 186. № 1. P. 33—45.
12. Silberclang M., Gillum A. M., RajBhandary U. L. // Nucl. Acids Res. 1977. V. 4. № 12. P. 4091—4108.
13. Vlassov V. V., Giegé R., Ebel J. P. // Eur. J. Biochem. 1981. V. 119. № 1. P. 51—59.
14. Петрушенко З. М., Тукало М. А., Мацук Г. Х. // Биоорган. химия. 1986. Т. 12. № 11. С. 1492—1497.

Поступила в редакцию
22 XI 1989

Z. M. PETRUSHENKO, M. A. TUKALO, O. I. GUDZERA,
O. T. ROZCHKO, G. KH. MATSEUKA

IDENTIFICATION OF INTERACTION SITES OF tRNA^{Leu} FROM COW MAMMARY GLAND WITH THE COGNATE AMINOACYL-tRNA SYNTHETASE BY THE CHEMICAL MODIFICATION METHOD

*Institute of Molecular Biology and Genetics, Academy of Sciences
of the Ukrainian SSR, Kiev*

The interaction of the cow mammary gland tRNA^{Leu}_{IAG}, having a long variable loop, with the cognate aminoacyl-tRNA synthetase has been studied by the alkylation with ethylnitrosourea. It was shown that leucyl-tRNA synthetase protects from alkylation 3'-phosphates of the nucleotides 12—13 in D-loop, 23—24 in D-stem and 37—43 in the anticodon arm of tRNA^{Leu}_{IAG}. All regions of interaction with the aminoacyl-tRNA synthetase are located in the same plane of tRNA whereas the long variable loop is in another plane.